

УДК 539.529

## РАСПРОСТРАНЕНИЕ ВОЛН В ОБОЛОЧКЕ ИЗ КОМПОЗИТНОГО МАТЕРИАЛА, СОДЕРЖАЩЕЙ ПУЗЫРЬКОВУЮ ЖИДКОСТЬ

Р.Ю. Амензаде, Э.Т. Киясбейли, Г.М. Салманова

*Бакинский госуниверситет, Азербайджан*

Представлены результаты теоретического решения линеаризованной осесимметричной задачи о пульсирующем движении двухфазной пузырьковой жидкости, заключенной в упругую ортотропную оболочку. Течение смеси описывается моделью идеальной сжимаемой баротропной среды, а для оболочки используются уравнения движения, учитывающие сдвиг. В качестве примера рассмотрена оболочка с протекающей водой, которая содержит небольшие добавки пузырьков воздуха. Одной из важных задач динамики такой системы «оболочка–жидкость» является определение частот и форм собственных колебаний. Для длинных и коротких волн численно выявлено влияние объемного содержания пузырьков и ортотропии на волновые характеристики.

**Ключевые слова:** двухфазная жидкость, ортотропная оболочка, пузырьки, гармонические волны, круговая частота.

### Введение

Проблема распространения волн в деформируемых оболочках с протекающей в ее полости жидкостью является весьма актуальной. Это связано с широким распространением в технике и живых организмах систем транспортировки жидкостей. Основные идеи и принципы волнового движения жидкостей в деформируемых оболочках достаточно хорошо известны [1–3]. Однако механизмы ряда явлений, например, многофазности жидкости вкуче с учетом сдвига и ортотропии материала оболочки, изучены совершенно недостаточно.

В этой связи в предлагаемой работе предложена схема анализа и приведены результаты исследований закономерностей распространения гармонических волн в системе: бесконечная незакрепленная цилиндрическая тонкостенная упругая оболочка кругового поперечного сечения и сжимаемая идеальная жидкость. При этом жидкость принимается двухфазной, баротропной и пузырьковой. Рассматривается линеаризованная постановка задачи для осесимметричных волн, распространяющихся вдоль оси оболочки в ее положительном направлении. В указанном случае малых возмущений будем использовать общие координаты для оболочки и жидкости, которые совпадают с эйлеровыми и лагранжевыми координатами. Для ортотропной оболочки применяются уравнения, учитывающие деформацию сдвига. Это обстоятельство позволяет не налагать ограничений на величину длины волны.

## 1. Основные соотношения и постановка задачи

В систему уравнений, описывающих распространение волн в деформируемых оболочках, содержащих жидкость, входят уравнения движения оболочки и жидкости, ограниченность искомых функций, а также непрерывность компонент на границе контакта жидкости и оболочки.

**Математическая модель жидкости.** Введем в рассмотрение двухфазную среду, представляющую собой смесь жидкости с пузырьками газа. Следуя [4], приведем основные и необходимые здесь допущения для математического описания течений пузырьковых жидкостей методами механики сплошной среды. Они значительно упрощают постановку и решение задачи, не искажая при этом сущности явления:

– в каждом элементарном макрообъеме пузырьки присутствуют в виде сферических включений одного и того же радиуса  $r_0$ , причем объемная концентрация пузырьков не очень велика (смесь монодисперсная), а величина  $r_0$  значительно меньше характерных размеров задачи;

– непосредственным взаимодействием и столкновениями пузырьков друг с другом можно пренебречь;

– процессы слияния (коагуляции), дробления и образования новых пузырьков отсутствуют;

– скорости пузырьков и несущей фазы одинаковы;

– пузырьки обладают нейтральной плавучестью, т.е. не оседают и не всплывают.

В рамках сделанных допущений, для случая когда несущая фаза является идеальной жидкостью, будем считать течение смеси потенциальным. Тогда для определения потенциала скорости  $\varphi(x, r, t)$  имеем уравнение [5]:

$$\Delta\varphi = \frac{1}{a^2} \frac{\partial^2 \varphi}{\partial t^2}, \quad (1.1)$$

где  $t$  – время, а  $\Delta$  – оператор Лапласа.

При известном потенциале  $\varphi$  гидродинамическое напряжение  $q$  и вектор скорости  $\mathbf{v}$  течения смеси определяются как

$$q = -\rho_f \frac{\partial \varphi}{\partial t}, \quad (1.2)$$

$$\mathbf{v} = \text{grad } \varphi. \quad (1.3)$$

В уравнениях (1.1) и (1.2) квадрат скорости  $a^2$  и плотность газожидкостной среды  $\rho_f$  записываются посредством формул [4]:

$$a^2 = \frac{1}{\alpha_2(1-\alpha_2)} \left( \frac{\rho_1^0}{\rho_1^0 - \rho_2^0} \right)^2 \frac{p}{\rho_1^0}, \quad (1.4)$$

$$\rho_f = (1-\alpha_2)\rho_1^0 + \alpha_2\rho_2^0. \quad (1.5)$$

В (1.4), (1.5)  $\alpha_2$  – объемное содержание пузырьков,  $\rho_1^0, \rho_2^0$  – соответственно истинные плотности несущей и дисперсной фаз,  $p$  – статическое давление в жидкости. Индекс 0 наверху означает значение параметра в равновесном состоянии.

Если объемное содержание пузырьков в единице объема смеси достаточно мало ( $\alpha_2 \ll 1$ ), то среда может рассматриваться как однородная. Особенностью такой жидкости при обычных давлениях  $p$ , когда  $\rho_2^0 \ll \rho_1^0$ , является то, что

$$\rho_f = \alpha_1 \rho_1^0 + \alpha_2 \rho_2^0 \approx \alpha_1 \rho_1^0 \approx \rho_1^0, \quad (1.6)$$

так как  $\alpha_2 + \alpha_1 = 1$ . Это позволяет с достаточной степенью точности записать формулу (1.4) в следующем виде

$$a^2 \approx \frac{P}{\alpha_2 \rho_1^0}, \quad (1.7)$$

где  $a$  – равновесная скорость звука в смеси.

**Уравнения движения оболочки.** Пусть в невозмущенном состоянии дана цилиндрическая круговая оболочка радиуса  $R$  и толщиной  $2h$ . Композитный материал будем моделировать упругим линейным ортотропным телом и применять теорию тонких оболочек, построенную с учетом эффекта сдвига. В цилиндрической системе координат  $(x, \theta, r)$  при рассмотрении осесимметричных возмущений (этим условием исключается крутильная волна в оболочке) уравнения движения оболочки, на которую действует гидродинамическое давление  $(0, 0, q)$ , запишем следующим образом [6]:

$$\begin{aligned} \frac{\partial^2 u}{\partial x^2} + \frac{v_2}{R} \frac{\partial w}{\partial x} &= \frac{\rho_*}{E_1} (1 - v_1 v_2) \frac{\partial^2 u}{\partial t^2}, \\ -\frac{w}{R} - v_1 \frac{\partial u}{\partial x} + R \frac{h^2}{3} \frac{E_1}{E_2} \frac{\partial^3 \psi}{\partial x^3} + \frac{R(1 - v_1 v_2)}{2E_2 h} q \Big|_{r=R} &= \frac{\rho_*}{E_2} R(1 - v_1 v_2) \frac{\partial^2 w}{\partial t^2}, \\ \psi + \frac{\partial w}{\partial x} - \frac{h^2}{3(1 - v_1 v_2)} \frac{E_1}{G} \frac{\partial^2 \psi}{\partial x^2} &= 0. \end{aligned} \quad (1.8)$$

Здесь давление жидкости на стенку оболочки согласно (1.2) при условии (1.6) будет

$$q \Big|_{r=R} = -\rho_1^0 \frac{\partial \phi}{\partial t} \Big|_{r=R}, \quad (1.9)$$

$\{u(x, t), 0, w(x, t)\}$  – перемещения точек срединной поверхности оболочки,  $\psi(x, t)$  – угол поворота сечения к ней,  $\rho_*$  и  $G$  – плотность и модуль сдвига материала оболочки. Осевой и тангенциальный модули упругости  $E_1, E_2$  и коэффициенты Пуассона  $v_1, v_2$  должны удовлетворять равенству Максвелла  $E_1 v_2 = E_2 v_1$ .

**Контактное условие.** Для завершения постановки задачи необходимо сформулировать контактное условие, связывающее движение жидкости и оболочки. Принимая во внимание допущение о нейтральной плавучести, условие сопряжения будет иметь вид:

$$\frac{\partial \phi}{\partial r} = \frac{\partial w}{\partial t} \quad \text{при } r = R. \quad (1.10)$$

Таким образом, можно считать, что уравнения (1.1), (1.8), (1.9) и (1.10) полностью описывают рассматриваемую задачу.

## 2. Волновое решение уравнения гидродинамики

В дальнейшем будем полагать, что все искомые функции пропорциональны временному множителю  $\exp(i\omega t)$ , где  $i = \sqrt{-1}$  мнимая единица, а  $\omega$  – круговая частота. Таким образом, будем исходить из выражения для потенциала скоростей в виде

$$\varphi = \bar{\varphi}(x, r) \exp(i\omega t). \quad (2.1)$$

Подставляя в (1.1) решение (2.1), находим:

$$\Delta \bar{\varphi} + \frac{\omega^2}{a^2} \bar{\varphi} = 0. \quad (2.2)$$

Оператор  $\Delta$  в цилиндрических координатах равен

$$\Delta = \frac{\partial^2}{\partial x^2} + \frac{\partial^2}{\partial r^2} + \frac{1}{r} \frac{\partial}{\partial r}.$$

Теперь соотношение (2.2) запишется в форме

$$\frac{\partial^2 \bar{\varphi}}{\partial x^2} + \frac{\partial^2 \bar{\varphi}}{\partial r^2} + \frac{1}{r} \frac{\partial \bar{\varphi}}{\partial r} + \frac{\omega^2}{a^2} \bar{\varphi} = 0. \quad (2.3)$$

Применяя метод разделения переменных и оставляя в рассмотрении только волну, бегущую в положительном направлении оси  $x$ , окончательно для функции  $\varphi$  получим:

$$\varphi = A J_0(i\lambda r) \exp \left\{ -i \sqrt{\lambda^2 + \frac{\omega^2}{a^2}} x \right\} \exp(i\omega t), \quad (2.4)$$

где  $A$  – постоянная интегрирования, а  $J_0(i\lambda r)$  – функция Бесселя первого рода нулевого порядка.

### 3. Дисперсионное уравнение

Дифференциальные уравнения движения оболочки (1.8) удовлетворяются при подстановке в них решений вида:

$$u = u_0 \exp \left\{ -i \sqrt{\lambda^2 + \frac{\omega^2}{a^2}} x \right\} \exp(i\omega t), \quad (3.1)$$

$$w = w_0 \exp \left\{ -i \sqrt{\lambda^2 + \frac{\omega^2}{a^2}} x \right\} \exp(i\omega t), \quad (3.2)$$

$$\psi = \psi_0 \exp \left\{ -i \sqrt{\lambda^2 + \frac{\omega^2}{a^2}} x \right\} \exp(i\omega t). \quad (3.3)$$

Здесь  $u_0$ ,  $w_0$  и  $\psi_0$  – неизвестные, вообще говоря, комплексные постоянные.

Построение потенциала  $\varphi$  будет завершено, если воспользоваться формулами (2.4) и (3.2) в контактном условии (1.10). Отсюда непосредственно вытекает зависимость

$$\varphi = -\frac{\omega J_0(i\lambda r)}{\lambda J_1(i\lambda R)} w_0 \exp \left\{ -i \sqrt{\lambda^2 + \frac{\omega^2}{a^2}} x \right\} \exp(i\omega t). \quad (3.4)$$

Следовательно, пользуясь выражением (1.9), заключаем, что

$$q = i \frac{\rho_1^0 \omega^2 J_0(i\lambda R)}{\lambda J_1(i\lambda R)} w_0 \exp \left\{ -i \sqrt{\lambda^2 + \frac{\omega^2}{a^2}} x \right\} \exp(i\omega t). \quad (3.5)$$

Дальнейшая подстановка формул (3.1)–(3.5) в систему уравнений движения оболочки (1.8) дает для коэффициентов  $u_0$ ,  $w_0$  и  $\Psi_0$  систему трех линейных однородных алгебраических уравнений, содержащих в качестве параметра  $\omega$ . Вводя следующие обозначения:

$$k(\lambda) = \gamma_1 \left\{ \rho R - \mu \frac{J_0(i\lambda R)}{(i\lambda)J_1(i\lambda R)} \right\},$$

$$\gamma_1 = \frac{E_1}{E_2}, \quad \gamma_2 = \frac{E_1}{G}, \quad \mu = \frac{R}{2h}, \quad \rho = \frac{\rho^*}{\rho_1^0}, \quad \varepsilon = \frac{h^2}{3R^2}, \quad c_0^2 = \frac{E_2 h}{2R\rho_1^0},$$

приходим к уравнениям:

$$\begin{aligned} & \left\{ -\left( \lambda^2 + \frac{\omega^2}{a^2} \right) + \frac{1 - v_1 v_2}{4\mu c_0^2 \gamma_1} \rho \omega^2 \right\} u_0 - \frac{i v_2}{R} \sqrt{\lambda^2 + \frac{\omega^2}{a^2}} w_0 = 0, \\ & i v_1 \sqrt{\lambda^2 + \frac{\omega^2}{a^2}} u_0 + \left\{ -\frac{1}{R} + \frac{1 - v_1 v_2}{4\mu c_0^2 \gamma_1} k(\lambda) \omega^2 \right\} w_0 + i R^3 \varepsilon \gamma_1 \left( \lambda^2 + \frac{\omega^2}{a^2} \right)^{3/2} \Psi_0 = 0, \\ & -i \sqrt{\lambda^2 + \frac{\omega^2}{a^2}} w_0 + \left\{ 1 + \frac{R^2}{1 - v_1 v_2} \varepsilon \gamma_2 \left( \lambda^2 + \frac{\omega^2}{a^2} \right) \right\} \Psi_0 = 0. \end{aligned} \quad (3.6)$$

Из условия существования нетривиальных решений для  $u_0$ ,  $w_0$  и  $\Psi_0$ , имеем равенство нулю определителя системы (3.6):

$$\det \delta_{ij} = 0. \quad (3.7)$$

Раскрывая (3.7), получим следующее дисперсионное уравнение, окончательный вид которого будет содержать только четные степени  $\omega$ :

$$a_0 \omega^6 + a_1 \omega^4 + a_2 \omega^2 + a_3 = 0. \quad (3.8)$$

Здесь

$$\begin{aligned} a_0 &= \frac{R^2}{a^2} \varepsilon \gamma_2 \left\{ \frac{1 - v_1 v_2}{4\mu c_0^2 \gamma_1} \left[ \left( \frac{\rho}{4\mu c_0^2 \gamma_1} - \frac{1}{1 - v_1 v_2} \frac{1}{a^2} \right) k(\lambda) - \rho \frac{\gamma_1}{\gamma_2} \frac{R}{a^2} \right] + \frac{R}{a^4} \frac{\gamma_1}{\gamma_2} \right\}, \\ a_1 &= \frac{(1 - v_1 v_2) \rho}{16\mu^2 c_0^4 \gamma_1^2} k(\lambda) \{ 1 - v_1 v_2 + R^2 \lambda^2 \gamma_2 \varepsilon \} - \frac{1 - v_1 v_2}{4\mu c_0^2 \gamma_1 a^2} k(\lambda) \left\{ 1 + 2 \frac{R^2 \varepsilon \gamma_2}{1 - v_1 v_2} \lambda^2 \right\} + \\ & \quad + \frac{R \varepsilon}{a^4} \{ \gamma_2 + 3R^2 \lambda^2 \gamma_1 \} - \frac{R \varepsilon \rho}{4\mu c_0^2 \gamma_1 a^2} \{ \gamma_2 + 2(1 - v_1 v_2) R^2 \lambda^2 \gamma_1 \}, \\ a_2 &= -\frac{1 - v_1 v_2}{4\mu c_0^2 \gamma_1} \left\{ \frac{\rho}{R} + k(\lambda) \lambda^2 + \rho \varepsilon \gamma_1 R^3 \lambda^4 \right\} - \frac{R \varepsilon \gamma_2 \lambda^2}{4\mu c_0^2 \gamma_1} \{ \rho + R k(\lambda) \lambda^2 \} + \\ & \quad + \frac{R}{a^2} \left\{ \frac{1 - v_1 v_2}{R^2} + 2 \varepsilon \gamma_2 \lambda^2 \right\} + 3 \varepsilon \gamma_1 R^3 \lambda^4 \frac{1}{a^2}, \\ a_3 &= R \lambda^2 \left\{ \frac{1 - v_1 v_2}{R^2} + \varepsilon \gamma_2 \lambda^2 + \varepsilon \gamma_1 R^2 \lambda^4 \right\}. \end{aligned}$$

Таким образом, получена общая зависимость (3.8), характеризующая волновое течение пузырьковой жидкости в оболочке из композитного материала.

#### 4. Структура смеси

Конкретизируем жидкость и рассмотрим смесь, состоящую из воды, содержащей небольшие добавки пузырьков воздуха  $\alpha_2 = \{10^{-2}-10^{-1}\}$ . Такая схематизация весьма важна, так как вода определяющим образом влияет на протекание многих физико-химических, биологических и технологических процессов. С другой стороны, в ней всегда есть примеси, в частности пузырьки воздуха. Далее примем, что [4]

$$\rho_1^0 = 1 \text{ г/см}^3, \quad (\rho_2^0 = 10^{-3} \text{ г/см}^3), \quad p = 0,1 \text{ МПа}.$$

Выбранные выше параметры позволяют заключить, что величина равновесной скорости  $a$ , определяемая формулой (1.7), может быть значительно меньше не только скорости звука в воде, но и скорости звука в воздухе. Для принятой смеси  $a = 10^4$  см/с при  $\alpha_2 = 10^{-2}$ ,  $a \approx 5 \cdot 10^3$  см/с при  $\alpha_2 = 5 \cdot 10^{-2}$  и  $a \approx 3,16 \cdot 10^3$  см/с при  $\alpha_2 = 10^{-1}$  (для сравнения скорость звука в воде  $1,5 \cdot 10^5$  см/с, в воздухе –  $3,4 \cdot 10^4$  см/с). Следовательно, из (1.6) и (1.7) следует, что плотность смеси практически не меняется, в то время как равновесная скорость звука меняется существенно – среда обладает сильной физической нелинейностью.

#### 5. Численный эксперимент и выводы

Примем соответствующие задаче характерные геометрические ( $R = 4$  см,  $h = 0,1$  см) и опытные физико-механические данные:

- а) изотропный случай  $\gamma_1 = 1$ ,  $\nu_1 = \nu_2 = 0,3$ ,  $G = E/(2(1 + \nu))$ ,  $\gamma_2 = 2(1 + \nu)$ ;
- б) первый вариант ортотропии  $\gamma_1 = 1/3$ ,  $\nu_1 = \nu_2 = 0,1$ ;
- в) второй вариант ортотропии  $\gamma_1 = 1/3$ ,  $\nu_1 = \nu_2 = 0$ ,

причем для двух случаев ортотропии диапазон изменения  $\gamma_2$  определяется следующим образом [7]:  $0,7 < \gamma_2 \leq 10$ , а применительно к оболочке из резины  $E_2 = 0,4$  МПа,  $\rho_* = 2$  г/см<sup>3</sup>. В качестве примера рассмотрим два предельных случая для длинных и коротких волн.

**Приближение в случае длинных волн.** При  $\lambda R \ll 1$  имеем следующие асимптотические равенства

$$J_0(i\lambda R) \approx 1, \quad J_1(i\lambda R) \approx \frac{1}{2}i\lambda R,$$

из которых следует, что функция  $k(\lambda)$  приближенно записывается в виде

$$k(\lambda) \approx \gamma_1 \frac{2\mu}{\lambda^2 R}.$$

На графиках рис. 1 (буквы у кривых соответствуют различным случаям упругости) представлены зависимости безразмерных частот волны в оболочке  $\Omega_2 = \omega_2 t_0$  ( $t_0 = R/c_0$  – характерное время) от  $\alpha_2$  при  $\lambda = 10^{-2}$ , причем для двух случаев ортотропии ( $\gamma_2 = 3$ ) они практически совпадают. Соответствующие зависимости для частот волны в жидкости  $\Omega_1 = \omega_1 t_0$  отличаются весьма незначительно. Приведем их некоторые значения при различных  $\alpha_2$  во всех трех случаях упругости:

$$\Omega_1 \approx 0,057 \text{ при } \alpha_2 = 0 \text{ и } \Omega_1 \approx 0,06 \text{ при } \alpha_2 = 10^{-1}.$$

Для двух вариантов ортотропии при фиксированном  $\alpha_2$  влияние  $\gamma_2$  в диапазоне его изменения на значения  $\Omega_1$  и  $\Omega_2$  не существенно.

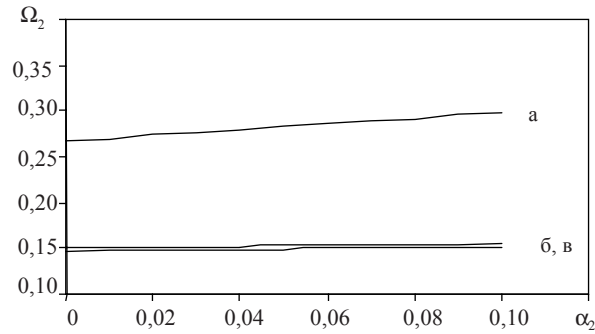


Рис. 1

**Приближение в случае коротких волн.** Вначале перепишем функцию  $k(\lambda)$ , положив

$$I_n(\lambda R) = \begin{cases} J_0(i\lambda R), & \text{если } n = 0, \\ i^{-1}J_1(i\lambda R), & \text{если } n = 1. \end{cases}$$

Тогда

$$k(\lambda) = \gamma_1 \left\{ \rho R + \frac{\mu}{\lambda} \frac{I_0(\lambda R)}{I_1(\lambda R)} \right\}.$$

В этом предельном случае, когда  $\lambda \gg 1$ ,

$$I_n(\lambda R) \approx \frac{e^{\lambda R}}{\sqrt{2\pi\lambda R}} \left\{ 1 + O\left(\frac{1}{\lambda R}\right) \right\}$$

и можно принять

$$k(\lambda) \approx \gamma_1 \left\{ \rho R + \frac{\mu}{\lambda} \right\}.$$

На рис. 2 помещены данные вычислений, относящиеся к кривым  $\Omega_2(\alpha_2)$ , для  $\lambda = 10$ .

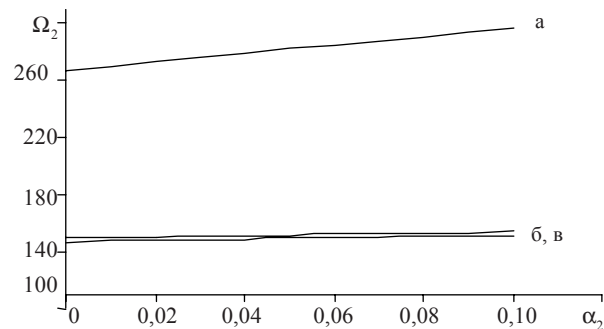


Рис. 2

Приведем соответствующие зависимости для  $\Omega_1$ :  
– для изотропного случая

$$\Omega_1 \approx 98,78 \text{ при } \alpha_2 = 0 \text{ и } \Omega_2 \approx 101,94 \text{ при } \alpha_2 = 10^{-1},$$

– для двух случаев ортотропии ( $\gamma_2 = 3$ )

$$\Omega_1 \approx 54,37 \text{ при } \alpha_2 = 0 \text{ и } \Omega_2 \approx 55,27 \text{ при } \alpha_2 = 10^{-1}.$$

На рис. 3 приведены вычисления для зависимости  $\Omega_1$  от  $\gamma_2$ , которые совпадают для принятых случаев ортотропии. Аналогичная зависимость для  $\Omega_2$  не приводится, так как она не зависит от  $\gamma_2$ . Заметим, что в обоих приближениях для численного решения дисперсионного уравнения (3.8) был использован итерационный метод деления отрезка пополам.

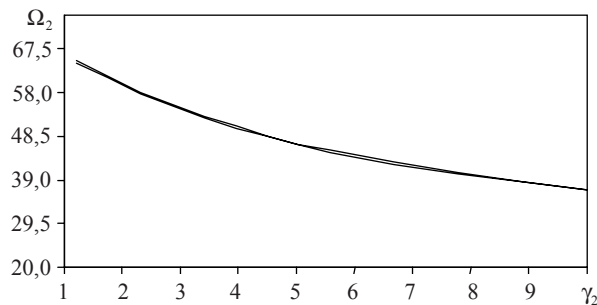


Рис. 3

Таким образом, проведенные вычисления позволяют сформулировать следующие основные выводы.

*В длинноволновом приближении:* с возрастанием объемного содержания пузырьков  $\alpha_2$  частота  $\Omega_2$  в оболочке увеличивается, что наиболее наглядно проявляется в изотропном случае (12%); учет ортотропии значительно снижает эту зависимость; аналогичные зависимости для  $\Omega_1$  практически не зависят от  $\alpha_2$  и совпадают для трех случаев упругости;  $\Omega_1$  и  $\Omega_2$  не зависят от параметра ортотропии  $\gamma_2$ .

*В приближении коротких волн:* с увеличением  $\alpha_2$  увеличивается  $\Omega_2$ ; зависимость  $\Omega_1$  от  $\alpha_2$  незначительна (3%), но весьма чувствительна при учете ортотропии;  $\Omega_1$  значительно уменьшается с увеличением  $\gamma_2$ , соответствующая зависимость  $\Omega_2$  не приводится, так как она не зависит от  $\gamma_2$ .

#### Литература

1. Педли, Т. Гидродинамика крупных сосудов / Т. Педли. – М., 1983. – 400 с.
2. Вольмир, А.С. Оболочки в потоке жидкости и газа. Задачи гидроупругости / А.С. Вольмир. – М., 1979. – 320 с.
3. Гузь, А.Н. Динамика сжимаемой вязкой жидкости / А.Н. Гузь. – Киев: «А.С.К.», 1998. – 349с.
4. Нигматулин, Р.И. Динамика многофазных сред. Ч. I / Р.И. Нигматулин. – М., 1987. – 464 с.
5. Седов, Л.И. Механика сплошной среды. Т. 1 / Л.И. Седов. – М., 1976. – 535 с.
6. Амензаде, Р.Ю. Влияние сдвига на волновые характеристики в ортотропной оболочке, содержащей жидкость / Р.Ю. Амензаде, А.Н. Ализаде, Н.Г. Дамиров // Механика оболочек и пластин: Сб. докл. XIX Междунар. конф. по теории оболочек и пластин. – Н. Новгород. – 1999. – С. 26–29.
7. Амбарцумян, С.А. Теория анизотропных пластин / С.А. Амбарцумян. – М., 1967. – 266 с.

[15.06.2009]



## WAVE PROPAGATION IN A SHELL OF A COMPOSITE MATERIAL CONTAINING A BUBBLE LIQUID

**R.Yu. Amenzade, E.T. Kiyasbeily, G.M. Salmanova**

The results of theoretically analyzing a linearized axisymmetric problem of a pulsed motion of a two-phase bubble liquid contained in an elastic orthotropic shell are presented. The mixture flow is described by a model of an ideal compressible barotropic medium, and equations of motion accounting for shear are used for the shell. A shell with flowing water containing small additions of air bubbles is studied as an example. One of the important dynamic problems of such a «shell-liquid» system is to determine frequencies and forms of natural vibrations. The effect of the volume percentage of the bubbles and the orthotropy on the wave characteristics is numerically found.

**Key words:** two-phase liquid, orthotropic shell, bubbles, harmonic waves, circular frequency.